

# Kerne und Teilchen

**Moderne Experimentalphysik III**  
**Vorlesung 14**

MICHAEL FEINDT  
INSTITUT FÜR EXPERIMENTELLE KERNPHYSIK

## Mesonen aus leichten Quarks

# Mesonen aus leichten Quarks

- Konstituentenmassen von b und c klar getrennt
- leichte Mesonen aus **u d s**: nur kleine Unterschiede → Mischungen  
keine nichtrelativistische Behandlung möglich
- Trotzdem sind die Spektren sehr ähnlich zu  $c\bar{c}$ ,  $b\bar{b}$

## Konstituenten – Quark – Modell:

**Konstituenten – Quark – Masse** = **intrinsische Quark – Masse („Current mass“)** + **dynamische Masse von Gluonen und See-Quarks**

wahrscheinlich aus Higgs-Mechanismus

u,d : ca. 5 MeV

⋮

t : ca. 175 000 MeV

ca 300 MeV

**u d s :** **current mass**  $\ll$  **dynamische Masse**

**c b t :** **current mass**  $\gg$  **dynamische Masse**

# Spin, Parität und Ladungskonjugation

$$\vec{S} = \vec{s}_q + \vec{s}_{\bar{q}}$$

**Gesamtspin** ;  $\oplus$  Bahndrehimpuls  $\vec{L} \Rightarrow$  Gesamtdrehimpuls

$$\vec{J} = \vec{L} \oplus \vec{S}$$

**Gesamtdrehimpuls** des gebundenen  $q\bar{q}$  – Zustands  
 $\equiv$  „Spin des Mesons“

**Parität:**

$$P = (-1)^{L+1}$$

wg.  $P$  (Fermion) = -  $P$  (Antifermion)  
 und  $P$  (Ortswellenfunktion) =  $(-1)^L$

**Ladungskonjugation:**

$$C = (-1)^{L+S}$$

**Beweis:** mit  $\hat{C} (q(\vec{r}_1, \vec{s}_1) \bar{q}(-\vec{r}_1, \vec{s}_2)) = C \cdot (\bar{q}(\vec{r}_1, \vec{s}_1) q(-\vec{r}_1, \vec{s}_2))$

1.  $\vec{r}_1$  und  $-\vec{r}_1$  vertauschen:

$$(-1)^{L+1}$$

2. Spins  $\vec{s}_1$  und  $\vec{s}_2$  vertauschen:

$$(-1)^{S+1}$$

antisymmetrisch für S gerade  $\uparrow\downarrow - \downarrow\uparrow$   
 symmetrisch für S ungerade  $\uparrow\uparrow, \uparrow\downarrow + \downarrow\uparrow, \downarrow\downarrow$

$$\Rightarrow C = (-1)^{L+1} (-1)^{S+1} = (-1)^{L+S+2} = (-1)^{L+S}$$

# Flavour – SU(3)

## ■ Pseudoskalare Mesonen ( $L=0, S=0, \uparrow\downarrow, J^{PC}=0^{-+}$ )

→ Grundzustand, leichteste Mesonen

- mit 3 Quarks u, d, s erhält man 9 pseudoskalare Mesonen

- u, d: **Isospin – Symmetrie SU(2)**

[starker Isospin, erhalten in starker WW, nicht in e.m.]

- s: etwas schwerer:  $m_{\text{konst}} \approx 450 \text{ MeV}$

ist wg. s nur näherungsweise **Flavour – SU(3) – Symmetrie**

- Quantenzahl Strangeness (ladungsartig, additiv) erhalten in starker und e.m. WW (aber nicht schwach)

**S (s-Quark) = -1**

**S ( $\bar{s}$ -Antiquark) = +1**

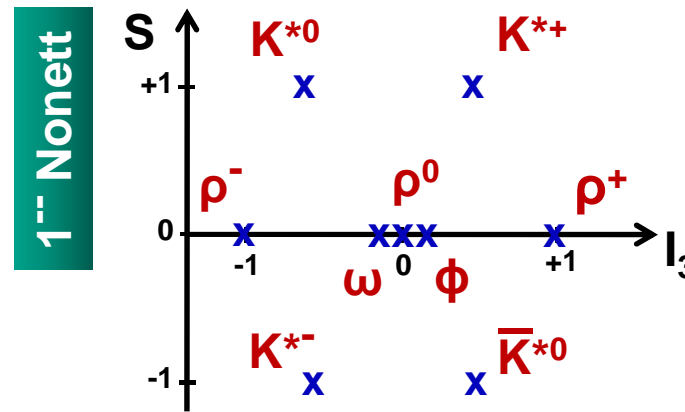
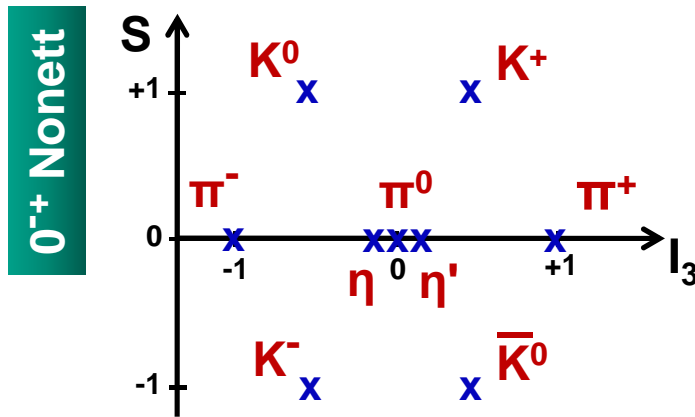
## ■ Vektormesonen ( $L=0, S=1, \uparrow\uparrow, J^{PC}=1^{--}$ )

→ wg. Spin – Spin – WW höhere Massen als  $0^{-+}$  – Mesonen

# Flavour – SU(3)

$$3q \otimes 3\bar{q} \Rightarrow 9 \text{ Mesonen} = \text{Nonett}$$

Die 9 Mesonen spalten auf in **1 Singulett** und **8 Oktett – Mesonen**



Isospin-Triplett:

$\pi^-, \pi^0, \pi^+$  :

$$\bar{u}d, \frac{1}{\sqrt{2}}(u\bar{u} - d\bar{d}), u\bar{d}$$

2 Isospin-Dupletts:

$K^0, K^+$  :

$$d\bar{s}, u\bar{s}$$

$K^-, \bar{K}^0$  :

$$\bar{u}s, \bar{d}s$$

Isospin-Singletts: SU(3)-8:

$\eta$  :

$$\frac{1}{\sqrt{6}}(u\bar{u} + d\bar{d} - 2s\bar{s})$$

SU(3)-1:

$\eta'$  :

$$\frac{1}{\sqrt{3}}(u\bar{u} + d\bar{d} + s\bar{s})$$

**Die Isospin – Singletts mischen wegen gebrochener SU(3) – Symmetrie (Strange–Quark–Mesonen)**

# Oktett-Singlett – Mischung

- Die 3 Zustände mit  $S=0$ ,  $I_3=0$  können im Prinzip **mischen**:

$$\begin{aligned}
 m(\pi^\pm) &\approx m(\pi^0) \\
 m(\eta') &> m(\eta) > m(\pi^0)
 \end{aligned}$$

Isospin – Symmetrie: gut

SU(3) – Symmetrie: nur näherungsweise

- Oktett-Singlett – Mischung:**

$$\begin{aligned}
 |\eta'\rangle &= \cos\theta |\eta_1\rangle - \sin\theta |\eta_8\rangle \\
 |\eta\rangle &= \sin\theta |\eta_1\rangle + \cos\theta |\eta_8\rangle
 \end{aligned}$$

- Vektormesonen + L=1 – Mesonen:** fast „ideale“ Mischung

d.h. ein  $I=0$  – Zustand ist  $\approx \frac{1}{\sqrt{2}} (u\bar{u} + d\bar{d}) : \omega$

der andere  $I=0$  – Zustand ist  $s\bar{s} : \phi$

# Massen der Mesonen

- Spin – Spin – WW:

$$\Delta M_{SS} = \begin{cases} -3 \cdot \frac{8\hbar^3}{9c^3} \frac{\pi\alpha_s}{m_q m_{\bar{q}}} |\psi(0)|^2 \\ +1 \cdot \frac{8\hbar^3}{9c^3} \frac{\pi\alpha_s}{m_q m_{\bar{q}}} |\psi(0)|^2 \end{cases}$$

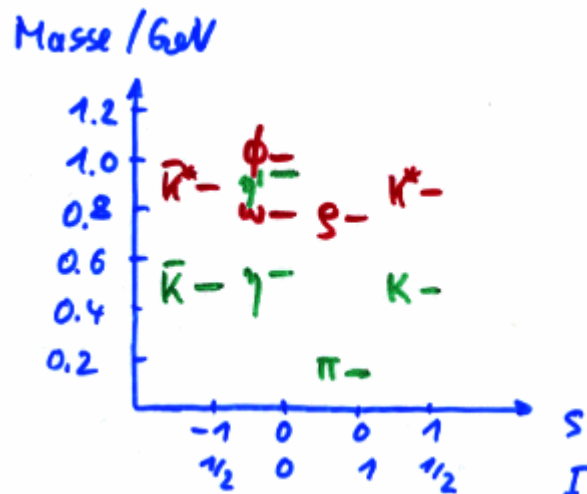
$0^{+-}$

$1^{--}$

- Massenformel

$$M_{q\bar{q}} = m_q + m_{\bar{q}} + \Delta M_{SS}$$

beschreibt alle  $0^{+-}$  und  $1^{--}$  – Mesonen auf 1% Genauigkeit




Parameter:

$$m_{u,d} \approx 310 \text{ MeV}$$

$$m_s \approx 483 \text{ MeV}$$

# Mesonen mit L=1

**S = 0** :     
 Spin - Singlett



$$\vec{J} = \vec{L} \oplus \vec{S} = \vec{L} \oplus 0 = \vec{L} = 1$$

$$P = (-1)^{L+1} = +1$$

$$C = (-1)^{L+S} = -1$$

$$J^{PC} = 1^{+-}$$

$${}^{2S+1}L_J = {}^1P_1$$

**S = 1** :     
 Spin - Triplet

$$\vec{J} = \vec{L} \oplus \vec{S} = 1 \oplus 1 = \begin{cases} 0 & \uparrow\downarrow \\ 1 & \uparrow\rightarrow \\ 2 & \uparrow\uparrow \end{cases}$$

$$P = (-1)^{L+1} = +1$$

$$C = (-1)^{L+S} = +1$$

$$J^{PC} = \begin{cases} 0^{++} & {}^3P_0 \\ 1^{++} & {}^3P_1 \\ 2^{++} & {}^3P_2 \end{cases}$$

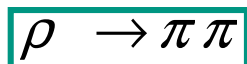
<u>L = 0:</u>	0 <sup>++</sup>	Pseudoskalare Mesonen
	1 <sup>--</sup>	Vektor – Mesonen
<u>L = 1:</u>	0 <sup>++</sup>	Skalare Mesonen
	1 <sup>++</sup>	} Axialvektor – Mesonen
	1 <sup>+–</sup>	
	2 <sup>++</sup>	Tensor - Mesonen



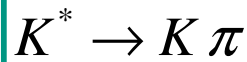
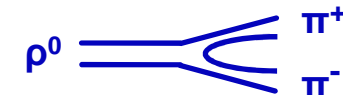
# Zerfallskanäle

- Zerfälle müssen kinematisch möglich sein
- dominant: **starke Zerfälle**
  - restriktivste Erhaltungssätze
- dann: **elektromagn. Zerfälle**
  - Isospin, SU(3) – Verletzung
- erst dann: **schwache Zerfälle**
  - viele Symmetrien verletzt, Übergänge zw. Quark – Flavours

## Zerfälle der Vektormesonen: starke WW

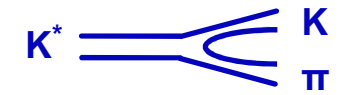


$$\tau = 4.3 \cdot 10^{-24} \text{ s}$$

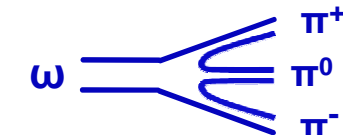


$$\tau = 1.3 \cdot 10^{-23} \text{ s}$$

(Phasenraum kleiner)



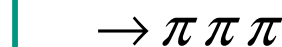
$$\tau = 7.8 \cdot 10^{-23} \text{ s}$$



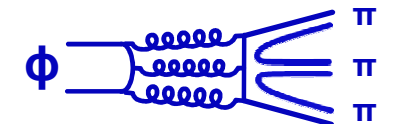
$\omega \rightarrow \pi \pi$  wg. G-Parität verboten:  $G = C \cdot (-1)^I = (-1)^{\# \text{ Pionen}}$



83% (Phasenraum klein)



13% Zweig-unterdrückt  
(via 3 Gluonen, siehe J/ψ-Zerfall)



# Zerfall der pseudoskalaren Mesonen

$\pi^\pm$  : leichtestes Hadron, geladen  $\Rightarrow$  nur schwache WW möglich

$$\pi^+ \rightarrow \mu^+ \nu_\mu \quad \tau = 2.6 \cdot 10^{-8} s \quad \text{als Spur rekonstruierbar}$$

$\pi^0$  : neutral, elektromagnetischer Zerfall in 2 Photonen möglich

$$\pi^0 \rightarrow \gamma\gamma \quad \tau = 8.4 \cdot 10^{-17} s$$

$K^\pm$  : leichtestes Meson mit Strangeness  $\Rightarrow$  schwacher Zerfall

nötig für  $s \rightarrow u$  -Übergang

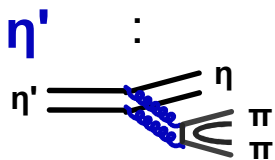
$$\tau = 1.2 \cdot 10^{-8} s \quad K^+ \rightarrow \begin{cases} \mu^+ \nu_\mu & 64\% \\ \pi^+ \pi^0 & 21\% \\ 3\pi & 7\% \end{cases} \quad \text{als Spur rekonstruierbar}$$

$\eta$  :  $\tau = 5.5 \cdot 10^{-19} s$   $\eta \rightarrow 2\gamma$  39% elektromagnetisch

$\eta \rightarrow 3\pi$  55% elektromagnetisch

$\eta'$  :  $\tau = 3.3 \cdot 10^{-21} s$   $\eta' \rightarrow \eta\pi\pi$  65% stark, Zweig-unterdrückt

$\eta' \rightarrow \rho\gamma$  30% elektromagnetisch



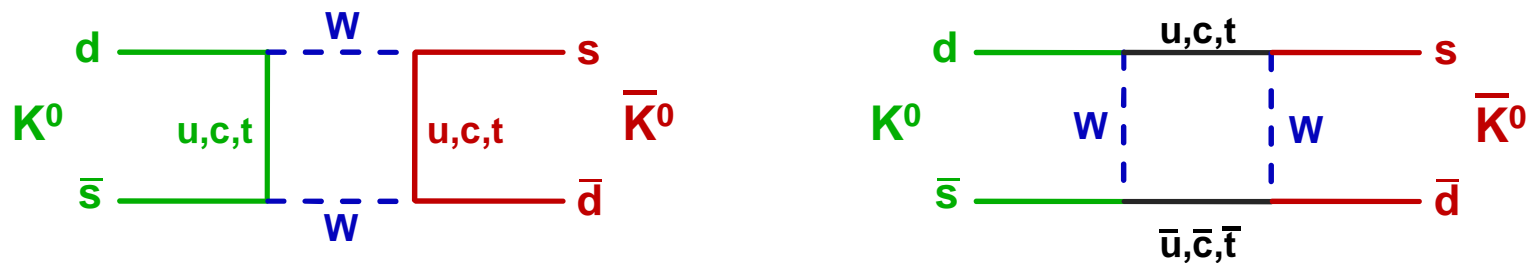
# Neutrale Kaonen

- Neutrale Kaonen können in  $2\pi$  ( $P=+1$ ) und  $3\pi$  ( $P=-1$ ) zerfallen (Paritätsverletzung)

⇒ das erlaubt eine Mischung von  $K^0$  und  $\bar{K}^0$  :

$$K^0 \leftrightarrow \left\{ \begin{array}{l} 2\pi \\ 3\pi \end{array} \right\} \leftrightarrow \bar{K}^0 \quad \Delta S = 2$$

- Auf dem Quark – Level: Box – Diagramme



- $K^0, \bar{K}^0$  haben definierte Strangeness  $\Leftrightarrow$  Eigenzustände der starken WW
- Durch die schwache WW (2. Ordnung) können  $K^0$  und  $\bar{K}^0$  jedoch mischen

# CP – Erhaltung in der schwachen WW

- in der schwachen WW sind C und P maximal verletzt, aber  $C \cdot P \approx$  erhalten

## Zerfallskanäle:

$2\pi$  und  $3\pi$  sind Eigenzustände von CP:

$$\begin{aligned} CP|\pi^0\pi^0\rangle &= (+1) \cdot |\pi^0\pi^0\rangle \\ CP|\pi^+\pi^-\rangle &= (+1) \cdot |\pi^-\pi^+\rangle \\ \text{(mit } L=0\text{:)} &= (+1) \cdot |\pi^+\pi^-\rangle \end{aligned}$$

$$\begin{aligned} CP|\pi^0\pi^0\pi^0\rangle &= (-1) \cdot |\pi^0\pi^0\pi^0\rangle \\ CP|\pi^+\pi^-\pi^0\rangle &= (-1) \cdot |\pi^-\pi^+\pi^0\rangle \\ &= (-1) \cdot |\pi^+\pi^-\pi^0\rangle \end{aligned}$$

$K^0$  und  $\bar{K}^0$  sind keine Zustände mit definierter CP – Parität:

$$CP|K^0\rangle = (-1) \cdot |\bar{K}^0\rangle$$

$$CP|\bar{K}^0\rangle = (-1) \cdot |K^0\rangle$$

Wenn CP erhalten ist und ein Kaon in  $2\pi$  (bzw.  $3\pi$ ) zerfällt, muss auch das Kaon eine definierte CP – Parität von +1 oder -1 haben

$$\begin{aligned} |K_1^0\rangle &= \frac{1}{\sqrt{2}} \left( |K^0\rangle - |\bar{K}^0\rangle \right) \\ |K_2^0\rangle &= \frac{1}{\sqrt{2}} \left( |K^0\rangle + |\bar{K}^0\rangle \right) \end{aligned}$$

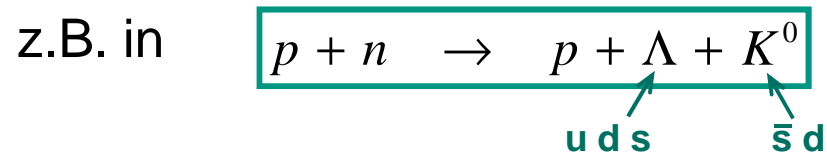
mit  $CP|K_1^0\rangle = (+1) \cdot |K_1^0\rangle$

mit  $CP|K_2^0\rangle = (-1) \cdot |K_2^0\rangle$

$|K_1^0\rangle$  zerfällt in 2 Pionen ( $\tau = 8.9 \cdot 10^{-11} \text{s}$ )

$|K_2^0\rangle$  zerfällt in 3 Pionen ( $\tau = 5.2 \cdot 10^{-8} \text{s}$ ) (lebt viel länger, weil der Phasenraum viel kleiner ist)

# Erzeugung von neutralen K – Mesonen



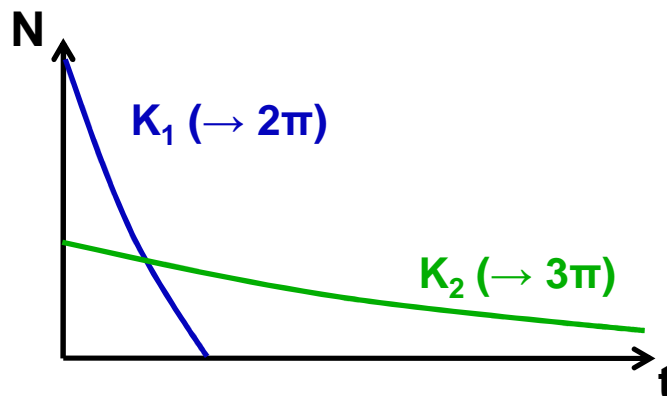
starke WW  
definierte Strangeness

- $K^0$  ist q.m. Superposition von  $K_1$  und  $K_2$  :

$$|K^0\rangle = \frac{1}{\sqrt{2}} (|K_1^0\rangle + |K_2^0\rangle)$$

sowohl  $K^0$  als auch  $\bar{K}^0$  bestehen je zur Hälfte aus kurzlebigen  $K_1^0$  und langlebigen  $K_2^0$

- $K_1$  – Komponente zerfällt viel schneller als  $K_2$  (in 2 Pionen)  
 $\Rightarrow$  nach einiger Zeit ist nur noch  $K_2^0$  – Komponente übrig



aus  $K^0$  – Strahl (oder  $\bar{K}^0$  – Strahl)  
wird ein  $K_2$  – Strahl  
(weit weg vom Target)

# Regeneration von $K_1$ in Materie

Ein  $K_2$  – **Strahl** (eine bestimmte kohärente Überlagerung von  $K^0$  und  $\bar{K}^0$ ) kann **regeneriert** werden, indem er durch **Materie** geschickt wird:

$$\sigma(K^0 N) \neq \sigma(\bar{K}^0 N) \quad (\text{starke WW})$$

⇒  $K^0$  und  $\bar{K}^0$  – Komponente werden **unterschiedlich stark absorbiert** ( $\eta_1, \eta_2$ )

⇒ effektiv unterschiedliche Kombination von  $|K^0\rangle$  und  $|\bar{K}^0\rangle$

**vorher:**  $|K_2\rangle = \frac{1}{\sqrt{2}}(|K^0\rangle + |\bar{K}^0\rangle)$

**nachher:**  $|K_2\rangle = \frac{1}{\sqrt{2}}(\underbrace{\eta_1}_{\text{rot}}|K^0\rangle + \underbrace{\eta_2}_{\text{rot}}|\bar{K}^0\rangle) = \frac{1}{\sqrt{2}}\left(\underbrace{\frac{\eta_1 + \eta_2}{2}}_{\text{rot}}|K_2\rangle + \underbrace{\frac{\eta_1 - \eta_2}{2}}_{\text{rot}}|K_1\rangle\right)$

Nach Verlassen des Absorbers enthält der Strahl sowohl  $|K_2\rangle$  als auch  $|K_1\rangle$

# CP – Verletzung in $K^0$ – System

- Nach vielen  $K_1$  – Lebensdauern sollten alle  $K^0$  in  $3\pi$  zerfallen.  
Christensen et.al. 1964: **In 0.3% der Fälle zerfallen  $K_2$  in  $2\pi$ !**

**→ CP - Verletzung**

- **Definition** von  $K_{\text{Short}}$  und  $K_{\text{Long}}$  :

- $K_S$  und  $K_L$  als Mischungen der CP – Eigenzustände
- $K_1$  und  $K_2$  mit sehr kleiner Mischung

$$\left. \begin{aligned} K_S &= K_1 + \varepsilon K_2 \\ K_L &= K_2 - \varepsilon K_1 \end{aligned} \right\} \text{indirekte CP - Verletzung}$$

- **Zusätzlich direkte CP – Verletzung in Zerfallsamplituden** (durch Interferenz verschiedener Feynman – Diagramme mit unterschiedlichen Phasen  $\Leftrightarrow$  Phase in der CKM–Matrix kann das erklären!)
- **CP – Verletzung auch im  $B^0$ - $\bar{B}^0$  – System** etabliert: BaBar, Belle – Experimente, 2000